

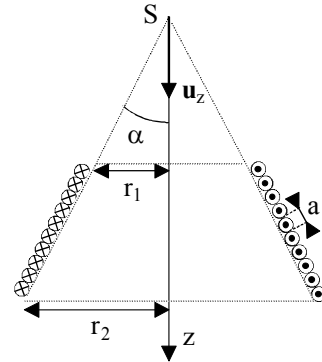
EPL - SESSION 2000 ÉNONCÉ

Questions liées.

[1,2,3,4,5] [6,7,8,9,10] [11,12,13,14,15,16] [17,18,19,20,21,22,23,24] [25,26,27,28,29,30]

1. On réalise un bobinage en enroulant sur un tronc de cône, jointivement suivant la génératrice, N spires d'un fil de cuivre de diamètre a et de résistivité ρ . Le tronc de cône de sommet S , de demi-angle au sommet α , est caractérisé par les rayons r_1 et $r_2 > r_1$ de ses deux bases.

Chaque spire est repérée par sa cote z qui mesure la distance qui sépare son centre de S . On désigne par r le rayon de la spire située à la cote z . Exprimer le nombre N de spires qui constituent le bobinage en fonction de r_1 , r_2 , a et α .



a) $N = \frac{r_2 - r_1}{a \cos \alpha}$

b) $N = \frac{r_2 - r_1}{a \tan \alpha}$

c) $N = \frac{r_2 + r_1}{2a \cos \alpha}$

d) $N = \frac{r_2 - r_1}{a \sin \alpha}$

2. On désigne par dN le nombre de spires dont la cote est comprise entre z et $z + dz$. On considère que ces dN spires ont la même circonférence et qu'elles créent le même champ magnétique. Exprimer dN .

a) $dN = \frac{dz}{a \cos \alpha}$

b) $dN = \frac{dz}{a \sin \alpha}$

c) $dN = \frac{dz}{a \tan \alpha}$

d) $dN = \frac{dz}{2a \sin \alpha}$

3. La résistance R d'un fil de résistivité ρ , de section s et de longueur ℓ est donnée par la relation

$R = \frac{\rho \ell}{s}$. Calculer R .

a) $R = \rho \frac{r_2^2 - r_1^2}{a^3 \cos \alpha}$

b) $R = 4\rho \frac{r_2^2 - r_1^2}{a^3 \sin \alpha}$

c) $R = 2\rho \frac{r_2^2 - r_1^2}{a^3 \tan \alpha}$

d) $R = \rho \frac{r_2^2 + r_1^2}{2a^3 \cos \alpha}$

4. Le bobinage est parcouru par un courant I dans le sens représenté sur la figure ci-dessus. On désigne par μ_0 la perméabilité magnétique du vide. Calculer le champ magnétique \mathbf{B}_1 créé en S par une spire de rayon r .

a) $\mathbf{B}_1 = \frac{\mu_0 I}{2r} \sin^3 \alpha \mathbf{u}_z$

b) $\mathbf{B}_1 = \frac{\mu_0 I}{r} \sin^3 \alpha \mathbf{u}_z$

c) $\mathbf{B}_1 = \frac{\mu_0 I}{2\pi r} \sin^3 \alpha \mathbf{u}_z$

d) $\mathbf{B}_1 = \frac{\mu_0 I}{4\pi r} \sin^3 \alpha \mathbf{u}_z$

5. En déduire le champ magnétique \mathbf{B} créé en S par la totalité du bobinage.

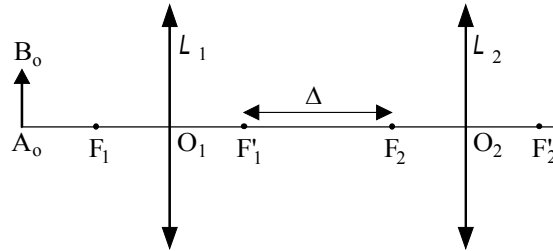
a) $\mathbf{B} = \frac{\mu_0 I \sin^3 \alpha}{2\pi a} \ln \left(\frac{r_2 - r_1}{r_2 + r_1} \right) \mathbf{u}_z$

b) $\mathbf{B} = \frac{\mu_0 I \sin^3 \alpha}{2\pi (r_2 - r_1)} \ln \left(\frac{r_2}{r_1} \right) \mathbf{u}_z$

c) $\mathbf{B} = \frac{\mu_0 I \sin^3 \alpha}{2a} \ln \left(\frac{r_2}{r_1} \right) \mathbf{u}_z$

d) $\mathbf{B} = \frac{\mu_0 I \sin^3 \alpha}{4\pi (r_2 + r_1)} \ln \left(\frac{r_2}{r_1} \right) \mathbf{u}_z$

6. Un microscope est constitué d'un objectif et d'un oculaire que l'on peut assimiler à deux lentilles minces convergentes L_1 et L_2 . Le foyer image F'_1 de L_1 et le foyer objet F_2 de L_2 sont séparés par une distance $\Delta = 16$ cm. L'objectif L_1 a une distance focale image $f'_1 = 4$ mm. Un observateur dont l'oeil est normal et accommode à l'infini, regarde un objet A_oB_o à travers l'instrument (cf. figure ci-dessous).



Calculer, dans ces conditions, la distance $d_o = \overline{O_1A_o}$ de l'objet au centre optique de L_1 pour qu'une image nette se forme sur la rétine.

- a) $d_o = -3,5$ mm b) $d_o = -4,1$ mm c) $d_o = -5,2$ mm d) $d_o = -7,3$ mm

7. Calculer le grossissement transversal γ_{ob} de l'objectif.

- a) $\gamma_{ob} = -40$ b) $\gamma_{ob} = -30$ c) $\gamma_{ob} = -20$ d) $\gamma_{ob} = -25$

8. On désigne par $d_m = 25$ cm la distance minimale de vision distincte d'un oeil normal. On définit le grossissement commercial G d'un instrument optique par le rapport $G = \frac{\alpha_i}{\alpha_o}$ où α_i est l'angle sous lequel

un oeil normal accommodant à l'infini voit l'objet à travers l'instrument et α_o l'angle sous lequel l'objet est vu à l'oeil nu lorsqu'il est placé à la distance minimale de vision distincte.

Déterminer le grossissement commercial G_{oc} de l'oculaire en fonction de f'_2 et d_m .

- a) $G_{oc} = -\frac{d_m - f'_2}{f'_2}$ b) $G_{oc} = \frac{d_m + f'_2}{f'_2}$
 c) $G_{oc} = \frac{d_m}{f'_2 + d_m}$ d) $G_{oc} = \frac{d_m}{f'_2}$

9. Sachant que le grossissement commercial de l'oculaire vaut $G_{oc} = 10$, calculer le grossissement commercial G_m du microscope.

- a) $G_m = -2000$ b) $G_m = -300$ c) $G_m = -200$ d) $G_m = -400$

10. On définit la puissance \mathcal{P} du microscope par le rapport $\mathcal{P} = \frac{\alpha_i}{A_oB_o}$ de la dimension angulaire α_i de

l'objet vu à travers l'instrument par un oeil normal accommodant à l'infini sur la dimension réelle A_oB_o de cet objet.

Calculer \mathcal{P} .

- a) $\mathcal{P} = 3000 \delta$ b) $\mathcal{P} = 1600 \delta$ c) $\mathcal{P} = 1000 \delta$ d) $\mathcal{P} = 500 \delta$

11. Un moteur M équivalent à un résistor de résistance R associé en série avec une bobine d'auto-inductance L est alimenté en courant alternatif sinusoïdal de fréquence 50 Hz par un fil de résistance négligeable (cf. figure ci-contre). Le moteur consomme une puissance moyenne $\mathcal{P}_M = 4,4$ kW et son facteur de puissance est égal à 0,6. On mesure entre ses bornes A et B une tension de valeur efficace $U = 220$ V.

Calculer le courant efficace I circulant dans la ligne.

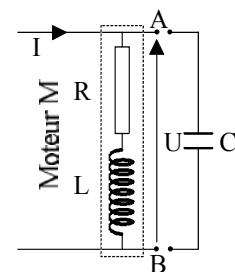
- a) $I = 12,5$ A b) $I = 27,2$ A c) $I = 42,6$ A d) $I = 33,3$ A

12. Calculer R .

- a) $R = 4 \Omega$ b) $R = 8 \Omega$ c) $R = 2 \Omega$ d) $R = 12 \Omega$

13. Calculer L .

- a) $L = 7$ mH b) $L = 12$ mH c) $L = 17$ mH d) $L = 52$ mH



14. Pour relever le facteur de puissance de l'installation, on connecte entre les bornes A et B un condensateur de capacité C. La tension mesurée aux bornes du moteur a toujours la valeur $U = 220 \text{ V}$. Calculer la plus petite valeur de C pour que le nouveau facteur de puissance soit égal à 0,9.

- a) $C = 246 \mu\text{F}$ b) $C = 354 \mu\text{F}$ c) $C = 192 \mu\text{F}$ d) $C = 53 \mu\text{F}$

15. Calculer la puissance moyenne \mathcal{P}'_M absorbée par le moteur.

- a) $\mathcal{P}'_M = 2,3 \text{ kW}$ b) $\mathcal{P}'_M = 4,4 \text{ kW}$ c) $\mathcal{P}'_M = 7,8 \text{ kW}$ d) $\mathcal{P}'_M = 5,3 \text{ kW}$

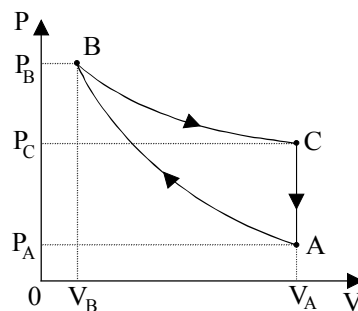
16. Calculer le courant I' circulant dans la ligne.

- a) $I' = 12,5 \text{ A}$ b) $I' = 53,4 \text{ A}$ c) $I' = 33,3 \text{ A}$ d) $I' = 22,2 \text{ A}$

17. Une masse constante de gaz parfait, dont le rapport des capacités thermiques à pression et volume constants est $\gamma = 1,4$, parcourt le cycle représenté sur le schéma de la figure ci-contre. Le gaz initialement dans l'état d'équilibre thermodynamique A caractérisé par une pression $P_A = 10^5 \text{ Pa}$, une température $T_A = 144,4 \text{ K}$ et un volume $V_A = 4,14 \cdot 10^{-4} \text{ m}^3$ subit une évolution isentropique qui l'amène à la température $T_B = 278,8 \text{ K}$.

Calculer la pression P_B du gaz dans ce nouvel état d'équilibre B.

- a) $P_B = 10^6 \text{ Pa}$ b) $P_B = 5,2 \cdot 10^5 \text{ Pa}$
 c) $P_B = 12,7 \cdot 10^6 \text{ Pa}$ d) $P_B = 3,5 \cdot 10^4 \text{ Pa}$



18. Calculer V_B .

- a) $V_B = 3,7 \cdot 10^{-3} \text{ m}^3$ b) $V_B = 1,4 \cdot 10^{-3} \text{ m}^3$
 c) $V_B = 0,8 \cdot 10^{-4} \text{ m}^3$ d) $V_B = 2,3 \cdot 10^{-5} \text{ m}^3$

19. Le gaz est mis en contact avec une source à la température T_B et subit une détente isotherme réversible qui ramène son volume à sa valeur initiale V_A .

Calculer la valeur P_C de la pression dans ce nouvel état d'équilibre C.

- a) $P_C = 0,27 \cdot 10^5 \text{ Pa}$ b) $P_C = 1,72 \cdot 10^4 \text{ Pa}$
 c) $P_C = 1,35 \cdot 10^5 \text{ Pa}$ d) $P_C = 1,93 \cdot 10^5 \text{ Pa}$

20. Calculer la variation d'entropie ΔS_{BC} du gaz au cours de son évolution isotherme BC.

- a) $\Delta S_{BC} = 3,42 \text{ J.K}^{-1}$ b) $\Delta S_{BC} = 0,471 \text{ J.K}^{-1}$
 c) $\Delta S_{BC} = -7,17 \text{ J.K}^{-1}$ d) $\Delta S_{BC} = 12,14 \text{ J.K}^{-1}$

21. Le gaz dans l'état d'équilibre C est alors mis en contact avec une source à la température T_A tandis que son volume est maintenu constant à la valeur V_A .

Calculer la variation d'entropie ΔS_{CA} du gaz au cours de cette évolution isochore.

- a) $\Delta S_{CA} = 12,6 \text{ J.K}^{-1}$ b) $\Delta S_{CA} = -15,3 \text{ J.K}^{-1}$
 c) $\Delta S_{CA} = 7,17 \text{ J.K}^{-1}$ d) $\Delta S_{CA} = -0,471 \text{ J.K}^{-1}$

22. Calculer la quantité de chaleur Q_{CA} échangée avec la source.

- a) $Q_{CA} = -96,3 \text{ J}$ b) $Q_{CA} = -12,6 \text{ J}$
 c) $Q_{CA} = -7,32 \text{ J}$ d) $Q_{CA} = 12,9 \text{ J}$

23. En déduire la valeur S_{CA}^c de l'entropie créée au cours de l'évolution isochore.

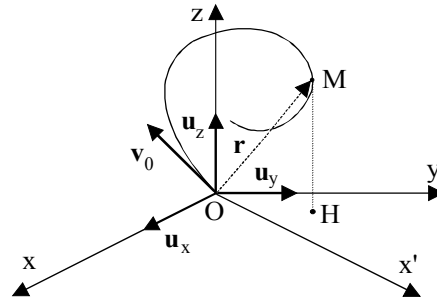
- a) $S_{CA}^c = 15,2 \text{ J.K}^{-1}$ b) $S_{CA}^c = -0,256 \text{ J.K}^{-1}$
 c) $S_{CA}^c = 0 \text{ J.K}^{-1}$ d) $S_{CA}^c = 0,196 \text{ J.K}^{-1}$

24. On peut en conclure que l'évolution est :

- a) monotherme réversible b) monotherme irréversible
 c) isotherme irréversible d) impossible

25. Une particule chargée M de masse m et de charge q est lancée à l'origine O d'un repère d'espace \mathcal{R} (Oxyz) avec une vitesse initiale \mathbf{v}_0 contenue dans le plan xOz : $\mathbf{v}_0 = v_{0x} \mathbf{u}_x + v_{0z} \mathbf{u}_z$. Cette particule est soumise à l'action d'un champ magnétique $\mathbf{B} = B \mathbf{u}_y$ uniforme et constant, dirigé suivant l'axe Oz et qui règne dans tout l'espace. On désigne par H la projection orthogonale de M sur le plan xOy.

On considère un second repère d'espace \mathcal{R}' ($Ox'y'z$), de même origine O et de même axe Oz que \mathcal{R} . Ce repère est animé d'un mouvement de rotation autour de l'axe Oz avec une vitesse angulaire $\Omega = \Omega \mathbf{u}_z$ constante.



On désigne par \mathbf{v} la vitesse de la particule dans \mathcal{R} . Donner l'expression de la force magnétique de Lorentz \mathbf{F}_L qui s'exerce sur elle dans \mathcal{R} .

- a) $\mathbf{F}_L = q \mathbf{B} \wedge \mathbf{v}$ b) $\mathbf{F}_L = q \mathbf{v} \wedge \mathbf{B}$ c) $\mathbf{F}_L = 2q \mathbf{v}_0 \wedge \mathbf{B}$ d) $\mathbf{F}_L = -q \mathbf{v}_0 \wedge \mathbf{B}$

26. Exprimer la vitesse \mathbf{v}'_0 de la particule dans \mathcal{R}' .

- a) $\mathbf{v}'_0 = -\mathbf{v}_0$ b) $\mathbf{v}'_0 = \Omega \mathbf{v}_0$ c) $\mathbf{v}'_0 = \mathbf{0}$ d) $\mathbf{v}'_0 = \mathbf{v}_0$

27. On étudie le mouvement de la particule dans \mathcal{R}' . Montrer que la force d'inertie d'entraînement \mathbf{F}_{ie} peut s'écrire.

- a) $\mathbf{F}_{ie} = m\Omega^2 \mathbf{HM}$ b) $\mathbf{F}_{ie} = -m\Omega^2 \mathbf{HM}$ c) $\mathbf{F}_{ie} = -m\Omega^2 \mathbf{OH}$ d) $\mathbf{F}_{ie} = m\Omega^2 \mathbf{OH}$

28. On pose $\omega_c = \frac{qB}{m}$ et l'on impose $\Omega = -\frac{\omega_c}{2}$.

On admettra que la force de Lorentz \mathbf{F}'_L qui s'exerce sur M dans \mathcal{R}' a la même valeur que dans \mathcal{R} : $\mathbf{F}'_L = \mathbf{F}_L$ et l'on négligera la force de pesanteur.

Calculer la force résultante \mathbf{F} qui s'exerce sur la particule.

- a) $\mathbf{F} = -\frac{m\omega_c^2}{4} \mathbf{OH}$ b) $\mathbf{F} = -\frac{m\omega_c^2}{2} \mathbf{OM}$ c) $\mathbf{F} = -\frac{m\omega_c^2}{4} \mathbf{OM}$ d) $\mathbf{F} = \frac{m\omega_c^2}{2} \mathbf{OH}$

29. Déterminer la loi horaire $x'(t)$ du mouvement suivant x' .

- a) $x'(t) = \frac{v_{0x}}{\omega_c} \sin(\omega_c t)$ b) $x'(t) = \frac{2v_{0x}}{\omega_c} \sin\left(\frac{\omega_c}{2} t\right)$
c) $x'(t) = \frac{2v_{0x}}{\omega_c} \sin(2\omega_c t)$ d) $x'(t) = \frac{v_{0x}}{2} t^2$

30. Déterminer la loi horaire $y'(t)$ suivant y' .

- a) $y'(t) = \frac{v_{0x}}{\omega_c} \sin(\omega_c t)$ b) $y'(t) = \frac{2v_{0x}}{\omega_c} \sin\left(\frac{\omega_c}{2} t\right)$
c) $y'(t) = 0$ d) $y'(t) = \frac{v_{0x}}{2} t^2$